

Title	転移性肝腫瘍に対するFLASHとFISPを用いた高速イメージング-T1およびT2*強調画像の至適条件の検討-							
Author(s)	大竹,正一郎;松尾,導昌;玉木,恒男他							
Citation	日本医学放射線学会雑誌. 1991, 51(1), p. 19-32							
Version Type	VoR							
URL	https://hdl.handle.net/11094/16046							
rights								
Note								

The University of Osaka Institutional Knowledge Archive : OUKA

https://ir.library.osaka-u.ac.jp/

The University of Osaka

# 転移性肝腫瘍に対する FLASH と FISP を

# 用いた高速イメージング

# -T1および T2\*強調画像の至適条件の検討-

天理よろづ相談所病院放射線科

\* 同 MR センター

\*\* 名古屋市立大学医学部放射線医学教室

大竹正一郎 松尾 導昌\* 玉木 恒男\*\* 左野 明 西澤 村上 昌雄 貞彦 三木 幸雄 川上 光一 三村 文利 正田 智也 小山 雅司 宮本 松本 純明 小島 芳夫 黒田 康正

> (平成2年2月16日受付) (平成2年6月11日最終原稿受付)

# Fast MR Imaging of Liver Metastasis using FLASH and FISP —Optimal Sequences for T1- and T2\*-Weighted Images—

Shoichiro Otake, Michimasa Matsuo\*, Tsuneo Tamaki\*\*, Akira Sano, Sadahiko Nishizawa, Masao Murakami, Yukio Miki, Kouichi Kawakami, Fumitoshi Mimura, Tomoya Masada, Masashi Koyama, Shinichi Miyamoto, Sumiaki Matsumoto, Yoshio Kojima

Sumiaki Matsumoto, Yoshio Kojima and Yasumasa Kuroda

Department of Radiology, Tenri Hospital
\*MR Center, Tenri Hospital

\*\*Department of Radiology, Nagoya City University Medical School

Research Code No.: 514.9

Key Words: MR imaging, Liver neoplasms, Gradient echo, FLASH, FISP

This paper deals with a study to obtain the optimal sequence of gradient echo (GE) for T1- and T2\*-weighted images similar to T1- and T2-weighted images of spin echo (SE). Two GE sequences, fast low angle shot (FLASH) and fast imaging with steady-state precession (FISP), were performed in 15 cases of liver metastasis in various combination of flip angle (FA), repetition time (TR), and echo time (TE). The optimal combinations were summarized as follows: 1) T1-weighted FLASH image with FA of 40°, TR of 22 msec and TE of 10 msec, 2) T1-weighted FISP image with FA of 70°, TR of 100 msec, TE of 10 msec, 3) both T2\*-weighted FLASH and FISP images with FA of 10°, TR of 100 msec and TE of 30 msec.

Not only to provide the adequate T1- and T2\*-weighted images but also to enable breath-holding MR imaging, GE sequences can optionally take place SE in cases of deteriorated images caused by moving artifacts. Other applications support the re-examination and further detailing when required, conveniently rather in short time.

#### はじめに

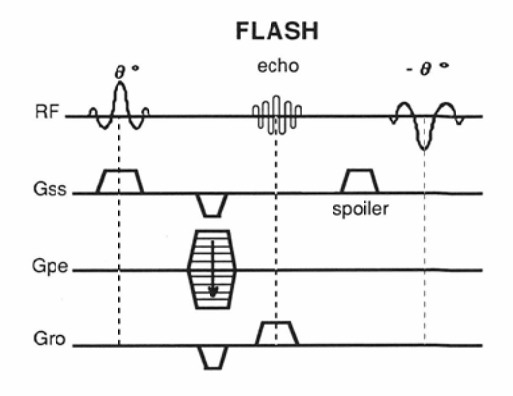
現在,magnetic resonance(MR)検査ではあくまで spin echo(SE)法による撮像が基本である。しかし撮像時間が長いために腹部領域では呼吸運動,血流,腸管の蠕動などに起因するアーチファクトによって十分な画質が得られないということがしばしば経験される $1^{1}$ ~4)。この際,SE 法で再検査を行うとすれば,さらに検査時間が延長することになる。また,画質上十分に撮像された場合でも,なお付加的な必要情報を得るために SE 法を繰り返し行うことは同様な結果を招き,特に T2強調画像の追加では問題が多い。

その一対策として、高速撮像法である gradient echo (GE) 法が活用されている<sup>5)~9)</sup>. しかし、本法を SE 法の代用、ないしは便宜的併用として用いるためには、SE 法の T1強調、T2強調画像に近いコントラストを描出するようなflip angle(FA)、repetition time (TR)、echo time (TE) の設定が望ましい。そのため、我々は転移性肝腫瘍を対象にして、2種類の GE 法、FLASH (Fast Low Angle Shot) と FISP (Fast Imaging with Steadystate Precession)<sup>10)11)</sup>において、現時点で最も適切な3つのパラメータを検索したので報告する。

## 対象および方法

対象は臨床的または組織学的に診断された転移性肝腫瘍15例で、全例 SE 法の T1強調画像で低信号, T2強調画像で高信号を呈した症例である。原発部位は大腸 4 例, 乳腺 3 例, 胃 2 例, 肺 2 例と胆囊, 膵臓, 甲状腺, 上顎洞各 1 例である。性別による内訳は男 8 例, 女 7 例, 年齢は29~76歳(平均年齢53歳)である。MR装置はSiemens Magnetom M-10 (1.0Tesla) の超伝導型を使用した。

今回用いた FLASH と FISP のバルス系列を Fig. 1 に示す。FLASH と FISP においては全例 で呼吸停止下で撮像を行った。各症例に用いた撮像パラメータを Table に示す。FA は $10^\circ$ から $90^\circ$  の範囲で変化させた。TR の下限は現時点で本装置にて設定可能な最短の22msec である。上限は呼吸停止時間を長くても30秒とするため,通常は100msec とした。しかし一部の症例では150msec を用い、その際には撮像マトリックスを $128 \times 256$ .



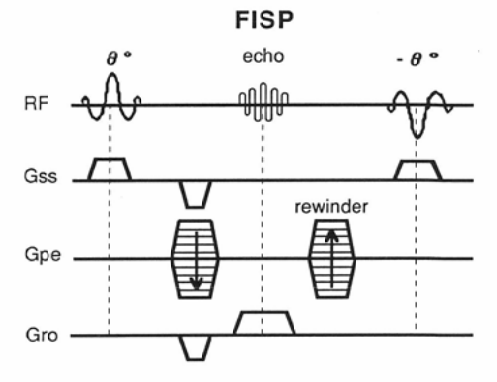


Fig. 1 Illustration of FLASH and FISP GE sequence. Spoiler gradient pulse is designed to destroy residual transverse magnetization prior to next RF pulse. Rewinder gradient pulse enables steady state magnetization to develop. Gss: slice-selection gradient. Gpe: phase-encoding gradient. Gro: read-out gradient.

表示マトリックスは256×256で行い,撮像時間および呼吸停止時間を半分とした。それ以外の撮像では撮像マトリックスを256×256,表示マトリックスは256×512で行った。TEは10msecから87msecの範囲で変化させた。平均加算はTRの短い場合は2回,長い場合は1回としたため,呼吸停止時間は最短がTRが22msecで2回の平均加算をした場合の約12秒から,最長はTRが100msecで1回の平均加算を行った場合の約26秒である。呼吸停止の前に数回の深呼吸を行ったのち,軽い吸気位で呼吸を停止させて撮像した。スライス厚は8mmで行った。

SE 法は全症例で T1強調, T2強調画像を撮像した. T1強調画像は TR=600msec, TE=15msec,

Table Patients with liver metastasis examined by fast imaging with various parameters

Case	Age/Sex	Primary	FLASH				FISP			
		site	FA	TR	TE	Contrast	FA	TR	TE	Contras
1	67/M	Lung	10,20,30,40*, 50,60,70,80,90		10	T1-W	10,30,40,50, 70*,90	100	10	T1-W
			40	22*,40*,60*, 80*,100*	10	T1-W	70	24,40,60,80†, 100*	10	T1-W
			40	100	10*,20,30,40, 50,60,70,80	T1-W	70	100	10,20,30*,40, 50,60	T2*-W
2	45/M	Colon	10,40*	22	10	T1-W	40,70*,90	22	10	T1-W
			10 10	27,30,50,100* 100	30 16,18,20,30*, 40†	T2*-W T2*-W	10	100	16,30*,40	T2*-W
3	60/M	Colon	10,20,30,40*, 50†,60,70,80,90	22	10	T1-W	10,40,70*	100	10	T1-W
			10	100	30	T2*-W	10	100	30	T2*-W
4	56/M	Stomach	10,40*	22	10	T1-W	70	22,40,60,80†, 100*	10	T1-W
			10	100	30*,40†	T2*-W	70	100	10*,20,40,60, 80	T1-W
							10	100	10,20,30*,40	T2*-W
5	55/F	Gallbladder	10,40*	28	16	T1-W	70	22,40,60,80, 100*	10	T1-W
			40	22*,40*,60*, 80*,100*	10	T1-W	10	100	30	T2*-W
			10	100	30	T2*-W				
6	65/F	Pancreas	10,20,30,40*, 50,60,70,80,90	22	10	T1-W	10,40	22	10	(-)
							10	100	10,30*,40	T2*-W
7	76/M	Lung	10,30,40*, 50†,70,90	22	10	T1-W	10	100	10,30*,40	T2*-W
8	52/F	Breast	40	22	10	T1-W	10,20,30,40,50, 60†,70*,80,90	100	10	T1-W
			10	100	30	T2*-W	10	100	30	T2*-W
9	29/F	Breast	70	100	10	(-)	10,20,40,70*, 90†	100	10	T1-W
							70	22,100*,150†	10	T1-W
10		a					70	100	30	T2*-W
10	44/M	Stomach	10,40*,70 10*,20,30,40,	22	10	T1-W				
			50	100	30	T2*-W				
			10	100	20,30*,40,50, 60,70,87	T2*W				
11	49/F	Thyroid	10,40*	22	10	T1-W	10,40	22	10	(-)
			10	100	10,30*,40†	T2*-W	10	100	10,30*,40†	T2*-W
12	38/F	Breast	10,30,40*	27	16	T1-W	10,40*	22	10	T1-W
13	40/14	M:11	10	100	10,30*,40	T2*-W	10	100	10,30*,40	T2*-W
	48/M	Maxillary sinus	40 10	22 100	10*,16† 30	T1-W T2*-W	70 10	100	10*,16	T1-W
14	45/F	Colon					10	100	30	T2*-W
44	40/ F	Colon	10,40*,70 10	22 100	10 20,30*,40†, 50,70	T1-W T2*-W				
15	68/M	Colon	10,40*,70	22	10	T1-W				
			10	100	16,20*,30†, 40,50,60,70	T2*-W				

Note. - (\*): Optimal parameter of all tested.

 $<sup>(\</sup>dagger)$  : The second optimal parameter.

<sup>(-) :</sup> Unsuitable tissue-contrast for T1- or T2\*-W.





b)



Fig. 2 (Case 8). A 52-year-old female with metastases from the breast. a) T1-weighted SE image obtained with TR of 600 msec and TE of 15 msec. b) FLASH sagittal image obtained with FA of 40°, TR of 22 msec, and TE of 10 msec. c) FISP image obtained with FA of 70°, TR of 100 msec, and TE of 10 msec. Both GE images show similar tissue-contrast to SE image.

平均加算は 4 回, T2強調画像は TR=2,000msec, TE=70msec, 平均加算は 1 回とした. スライス厚はともに8mm でスライス間隔は3.2mm である. 撮像マトリックスは $256 \times 256$ で表示マトリックスは $256 \times 512$ にて行った.

検討には3人の放射線科医がたずさわり,各症例ごとにSE法のT1強調画像,T2強調画像における腫瘍と正常肝実質との組織コントラストに最も近いコントラストを呈するGE法のパラメータを決定した。評価した3人の意見が異なった場合

には多数であった方を採用し、少数であった方も 並記した。

#### 結 果

SE 法の T1強調画像, T2強調画像に近いコントラストを呈した GE 法のパラメータを Table 内に示す。15例の検討の結果, 至適であるとの評価を最も受けたパラメータを以下に示す。

FLASHによる T1強調画像の FA は40°が最も 適した. TR は検討範囲では視覚的に組織コント ラストに明らかな影響を及ぼさなかった. TE は



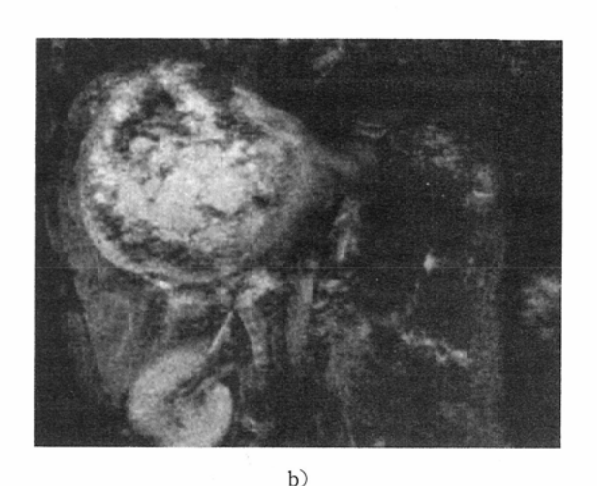


Fig. 3 (Case 11). A 49-year-old female with metastasis from the thyroid. a) T2-weighted SE image obtained with TR of 2000 msec and TE of 70 msec. b) FLASH coronal image obtained with FA of 10°, TR of 100 msec and TE of 30 msec. c) FISP image obtained with FA of 10°, TR of 100 msec and TE of 30 msec. Both GE images provide more detailed structures of the lesion than SE image.

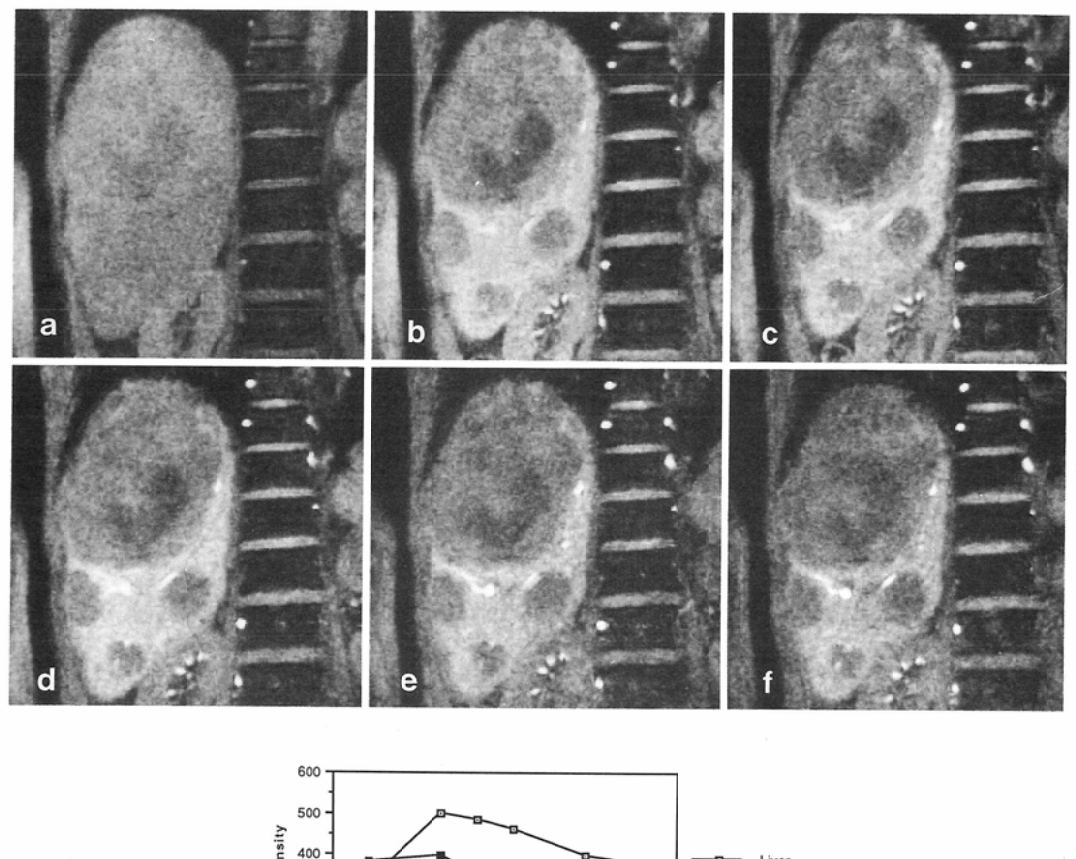
c)

10msec が適した。FISPでのT1強調画像のFA は70が最も適した。TR は100msec から150msec でT1強調のコントラストが得られた。TE は10 msec が最も適した(Fig. 2)。FLASH と FISPで のT2\*強調画像は両者ともFA は10°,TR は100 msec,TE は30msec が最も適していた(Fig. 3)。

以下に FLASH, FISP において, 各パラメータ の変化が組織コントラストに及ぼす影響について 述べる.

## (I) FLASH

1. FA の変化による影響: FA を $10^\circ$ から $90^\circ$ まで変化させると、FA が $10^\circ$ では腫瘍は正常肝実質より高信号を呈し、 $T2^*$ が強調された。FA が $30^\circ$ から $40^\circ$ では両者の関係は逆転して腫瘍が正常肝実質より低信号に描出され、T1を強調した組織コントラストとなった。FA が $40^\circ$ 以上では T1の差が



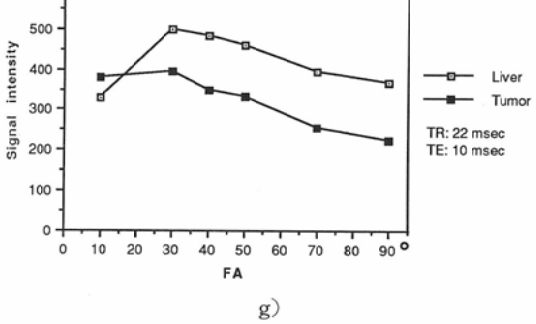


Fig. 4 (Case 7). A 76-year-old male with metastases from the lung. Coronal FLASH images obtained with TR of 22 msec, TE of 10 msec, and FA of a) 10°, b) 30°, c) 40°, d) 50°, e) 70° and f) 90°. g) Signal intensity curves of FLASH as a function of FA.

さらに強調されたが、FA の増大につれて全体の信号強度は徐々に低下してノイズが目立った (Fig. 4)、FLASH の T1強調画像には全体にある程度高い信号強度が得られ、しかも T1強調のコントラストが得られる $40^\circ$ が最も適した。 $T2^\circ$ 強調

画像には T1の影響の少ない10°が適した.

2. TR の変化による影響: TR を100msec 以下で増加させると全体の信号強度の増強は見られたが、腫瘍と正常肝実質とのコントラストには視覚的に明らかな影響はなかった (Fig. 5).

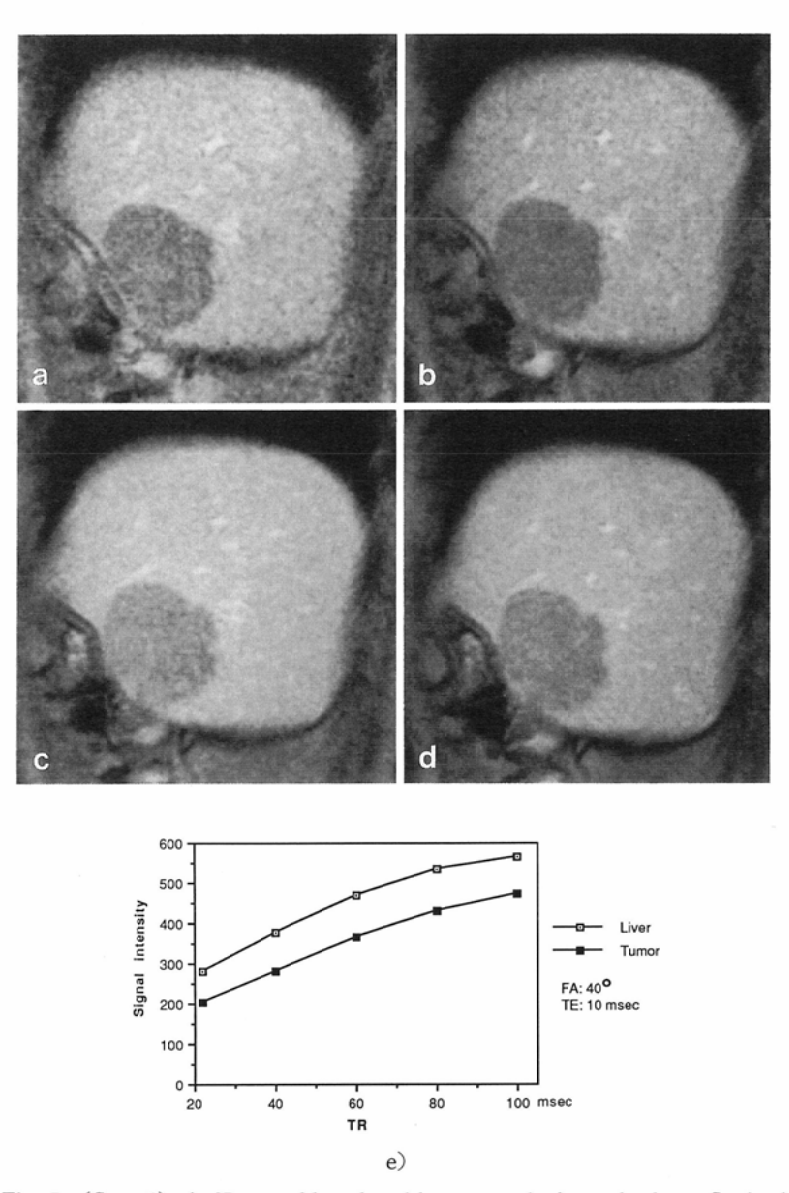


Fig. 5 (Case 1). A 67-year-old male with metastasis from the lung. Sagittal FLASH images obtained with FA of 40°, TE of 10 msec, and TR of a) 22, b) 40, c) 60, d) 80 msec. Tumor shows more decreased intensity than normal liver parenchyma in each TR. e) Signal intensity curves of FLASH as a function of TR. Signal intensities of both tumor and normal liver parenchyma are increased at longer TR.

3. TEの変化による影響: FLASHにてTE を変化させると, TE が10msec では腫瘍は低信号を呈し, TE が30msec から40msec にて腫瘍は高信号を呈した. TE をさらに延長させると腫瘍はより高信号で描出されたが, 正常肝実質の信号は著しく低下した(Fig. 6). T1強調画像には10msec が適し, T2\*強調画像には30msec が最も適した.

## (II) FISP

1. FA の変化による影響: FA を $10^\circ$ から $90^\circ$ まで変化させると、 $10^\circ$ から $20^\circ$ では腫瘍は高信号を呈し、 $40^\circ$ から腫瘍は低信号を呈した。さらに $90^\circ$ まで FA を増加させると T1強調の効果は増大したが、信号強度は全体に低下した(Fig. 7). FISP の FA は $70^\circ$ で T1強調の効果と十分な信号強度が得られた。 T2\*強調画像には $10^\circ$ が適した。

2. TR の変化による影響: FISP において TR

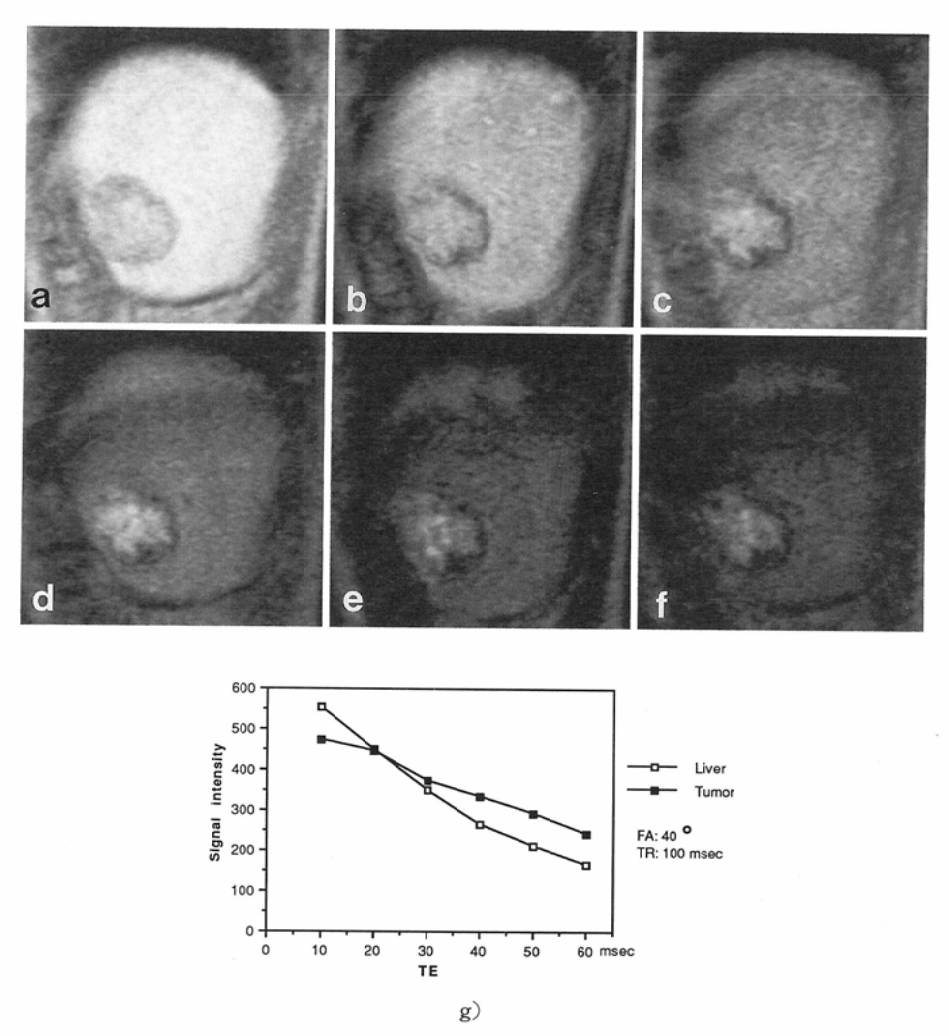
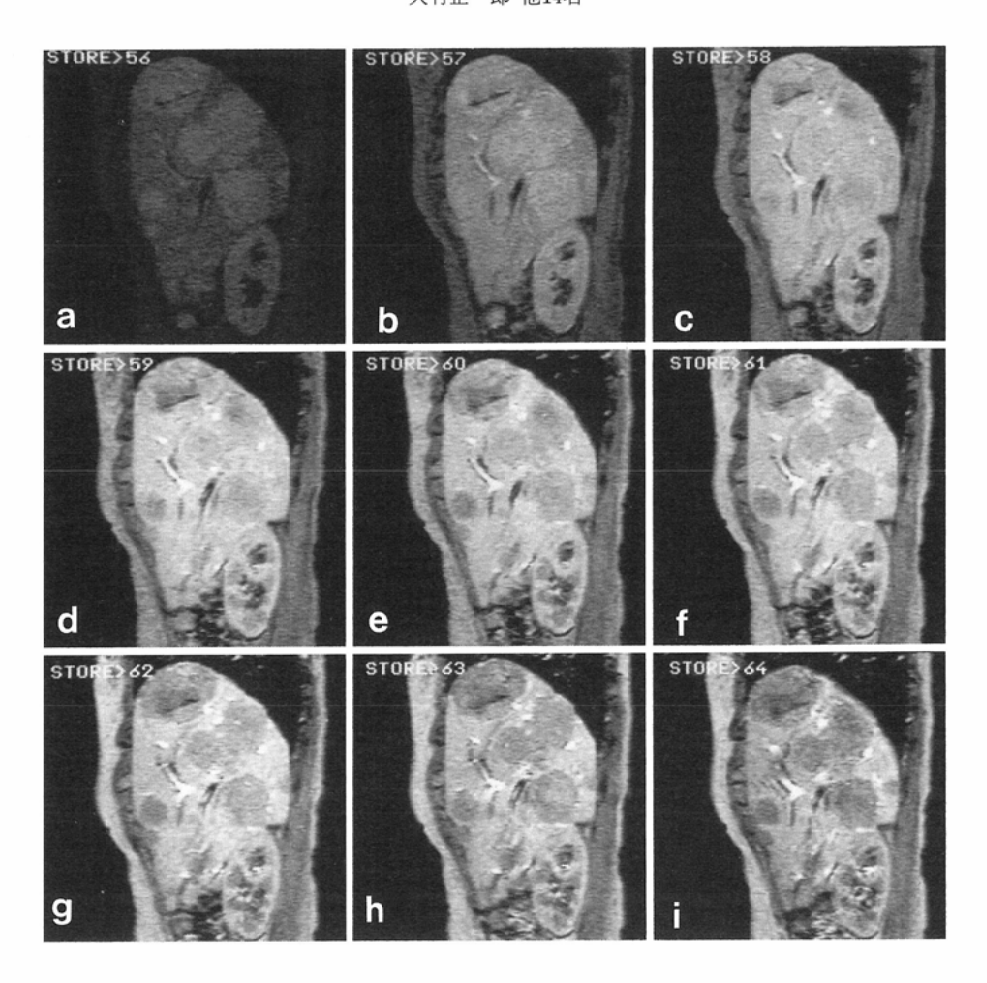


Fig. 6 (Case 1). A 67-year-old male with metastasis from the lung. Sagittal FLASH images obtained with FA of 40°, TR of 100 msec, and TE of a) 10, b) 20, c) 30, d) 40, e) 50 and f) 60 msec. Tumor shows slightly decreased intensity at TE of 10 msec. According to the increasing TE, tumor shows gradually increased intensity. However image noise is also increased. g) Signal intensity curves of FLASH as a function of TE. Relationship between tumor and normal liver parenchyma is inverted at TE of 20 msec.



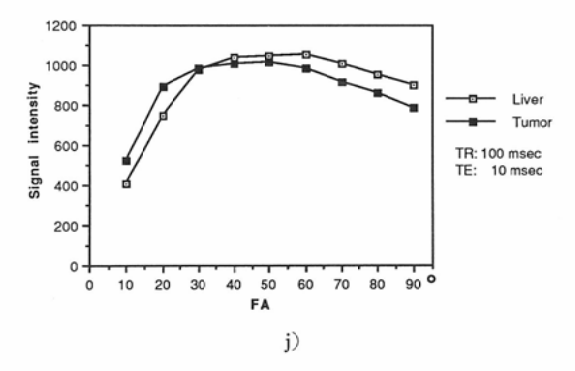


Fig. 7 (Case 8). A 52-year-old female with metastases from the breast. Sagittal FISP images obtained with TR of 100 msec, TE of 10 msec, and FA of a) 10°, b) 20°, c) 30°, d) 40°, e) 50°, f) 60°, g) 70°, h) 80° and i) 90°. Tumors show more increased intensity than normal liver parenchyma at FA of 10° and 20°. According to the increasing FA, tumors show decreased intensity. j) Signal intensity curves of FISP as a function of FA.

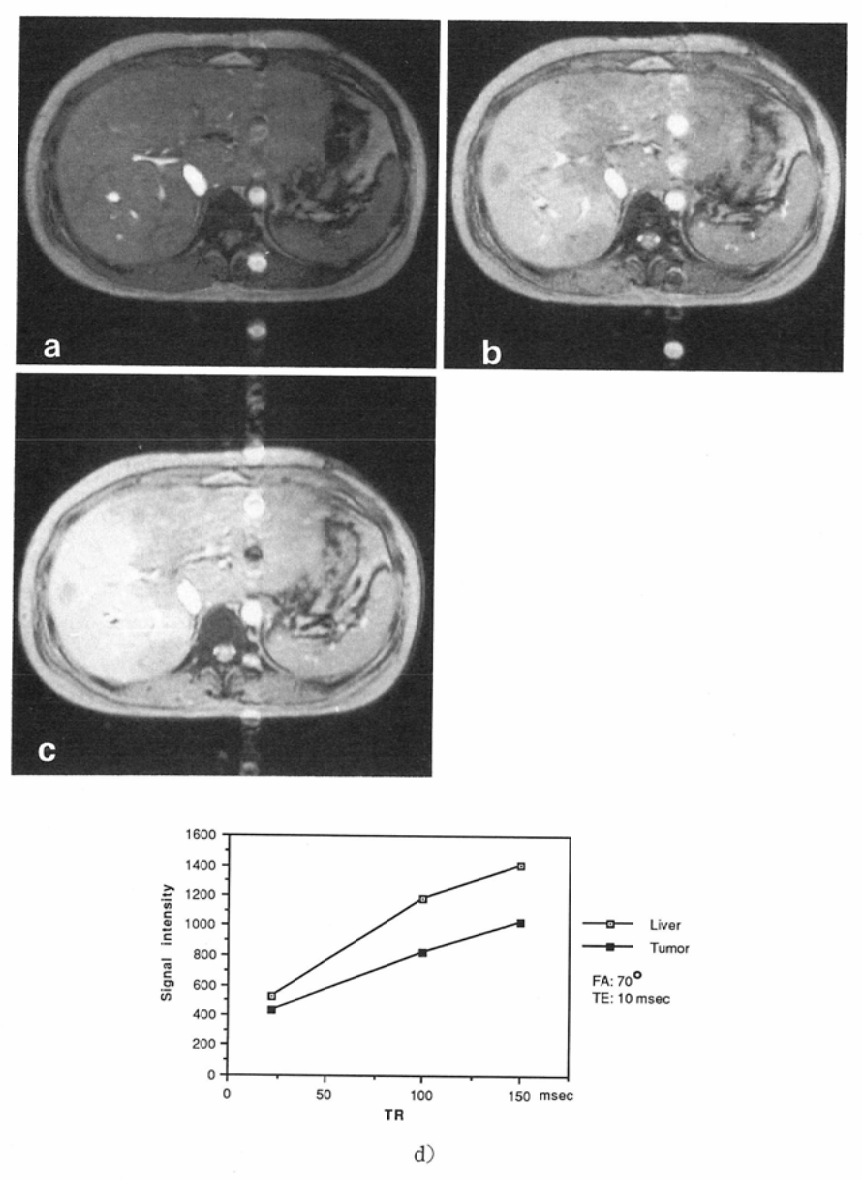
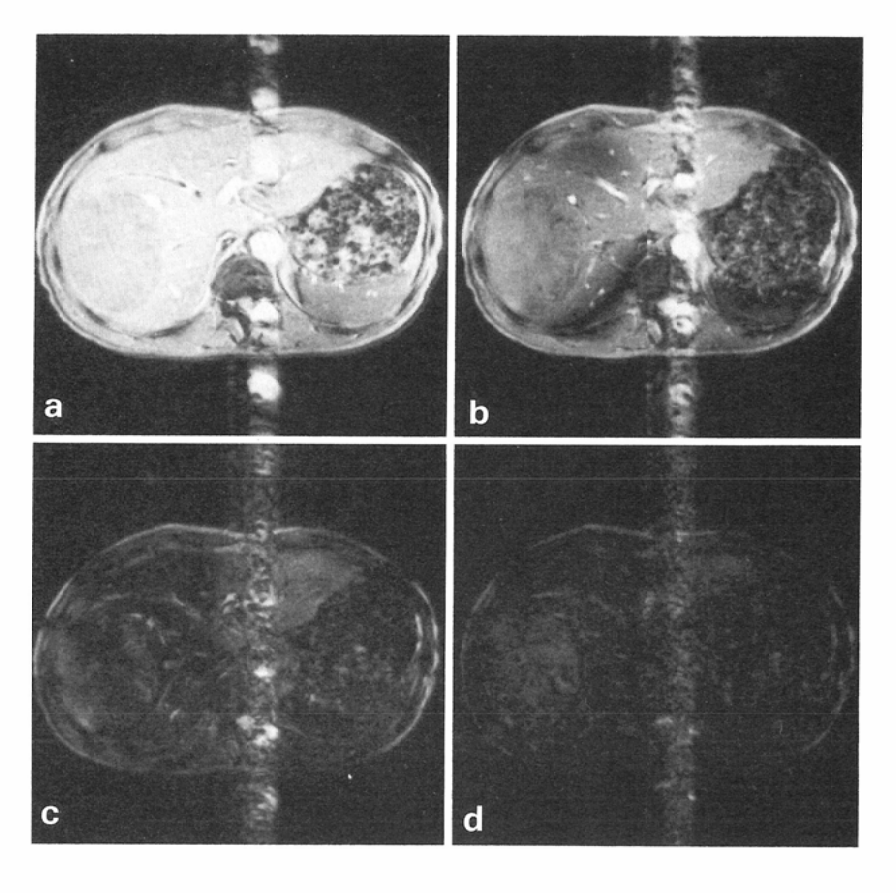


Fig. 8 (Case 9). A 29-year-old female with metastases from the breast. FISP images obtained with FA of 70°, TE of 10 msec, and TR of a) 22 msec, b) 100 msec and c) 150 msec. The lesions in the entire left lobe and the right lobe show decreased intensity at FA of 100 msec and 150 msec. d) Signal intensity curves of FISP as a function of TR.

を延長させると,腫瘍と正常肝実質の信号強度は 共に増加し,また腫瘍は低信号領域として描出さ れて T1が強調され,両者のコントラストは増大 した. TR を150msec まで延長するとさらに T1が 強調された(Fig. 8). しかし150msec の TR で呼 吸停止下において撮像するにはマトリックスを減

らす必要があり、解像度が低下するため FISP の T1強調には100msec が最も適した。T2\*強調画像 には最も適切な TE であった30msec の時点での 全体の信号強度を保つことができる100msec が 適した。

3. TE の変化による影響: FISP にて TE を変



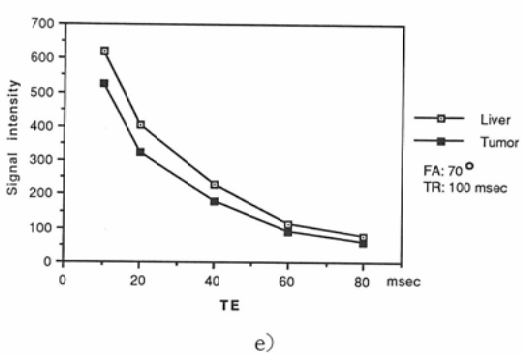


Fig. 9 (Case 4). A 56-year-old male with metastasis from the stomach. FISP images obtained with FA of 70°, TR of 100 msec, and TE of a) 10 msec, b) 20 msec, c) 40 msec and d) 60 msec. Sufficient image quality is obtained at TE of 10 msec. Signal level is much reduced at TE of 40 msec. e) Signal intensity curves of FISP as a function of TE between 10 msec and 80 msec.

化させると、TE が10msec では T1が強調されて 腫瘍は低信号に描出された。TE を延長させると T1強調の効果が減少し、30msec で T2\*が強調さ れた(Fig. 9)、FISP の TE は T1強調画像には10 msec, T2\*強調画像には30msec が最も適した.

#### 考察

GE 法は SE 法のように180°パルスを用いないために短時間スキャンが可能で、呼吸停止下での

撮像が容易となる $^{5}$ . GE 法の撮像パラメータには TR, TE に加えて FA があり、それらの組み合わせで得られる組織コントラストは複雑である $^{5}$ - $^{8}$ . これまでパラメータの中で FA の影響に関する報告は多いが、TR, TE に関して検討した報告は少ない $^{12}$ - $^{14}$ ). しかしそれらも実際の症例における検討ではなく、信号強度式の近似式から理論的に得られる信号の強さやコントラストを検討した報告が多い。ところが T2\*値は T2値以上に実際の症例や使用する装置によって大きく影響されるため $^{9}$ , 計算式上での正確な予測は困難である。今回のように実際の臨床例を用いて FA, TR, TE を変化させて撮像し、検討した報告は我々の知る範囲では初めてである.

今回はFLASH と FISPという 2 種類の GE 法を用いた。FLASH では echo を read out したのちに次の TR に移る前に slice selection 方向に spoiler pulse を印加することによって,横方向に 残存する磁化成分を消去する $^{610)14}$ . したがって残存する T2\*の影響が次の TR に反映されないために,相対的に T1強調という性格を持つ。一方,FISP では rephasing のためのいわゆる rewinder pulse を phase encode 方向に使用している $^{11}$ . そのために横方向の磁化ベクトルの一部が次の TR では縦方向のベクトルに加算されるために強い信号強度が得られるが,その信号の増大は T2\*が強調されたことにほかならない。したがって FISP は FLASH よりも相対的に T2\*強調の効果を持つ撮像法といえる.

FAはT1, T2\*強調画像を得るために選択できるTR, TEに次ぐ第3のパラメータで,一般的にはFAが小さいと縦緩和の差の影響が少なくなるためにT2\*が強調され,大きいとその逆でT1が強調される $^{789}$ . この傾向は次のTRに横方向の磁化の影響が及びにくいSE法や,GE法の中でもspoiler pulseを用いるFLASHで当てはまる。ところがFISPにおいてはTR<<T2という短いTRを用いるといわゆるsteady state free precessionの状態となり $^{11}$ ),FAが大きいということがT2\*の差を生じさせ,T2\*強調の効果を生む結果となって非常に複雑である。

今回の FA の検討では FLASH では40で最も T1を強調することが出来たが、FISP ではさらに 大きな FA が必要で700程度が適していた。この理由として、FISP は上記のように FLASH よりも T2\*強調の性格を持つためにさらに T1を強調する必要があり、FLASH より大きな FA が必要と 考えられる.

TE に関しては、同じ FA, TR であれば短い TE で T1強調画像、長い TE で T2\*強調画像が得られた。この理由は SE 法と同様である。しかしさらに長い TE では信号レベルが非常に小さくなり、ノイズが目立つために GE 法における TE の限界は40msec までと考えられた。

SE 法では TR が長いと縦緩和の違いによる影 響が少なくなるために T1の差が少なくなり、相 対的に T2強調になる、今回の検討では FLASH ではTRを100msec以内で長くすることは信号 強度を大きくする効果はあるが、視覚的に明らか な T2\*強調の効果はなかった. しかし TR が長く なると呼吸停止が不十分となり、かえって画像が 劣化することがあるため、実際の撮像では短い22 msec の撮像で行った。FLASH の T1強調画像で は10msecという短いTEが適するので、縦方向 の磁化の回復をあまり大きくしなくても良好な画 質が得られ、TR は22msec で十分であった。しか し TE が30msec とある程度長い FLASH の T2\* 強調画像を得る際には、全体の信号強度を大きく するために長いTRである100msecが必要で あった、FISPのTRはT2\*強調画像においては FLASH と同じ100msec が適していた。しかし FISP の T1強調画像は FLASH のように22msec という短い TR では得られず、100msec は必要で あった. この理由として, 短いTRではまだ横方 向の磁化が残存しており、FISPではFLASHと 違ってそれが spoil されず、その結果、T2\*が強調 される. ところが TR が長くなると、横方向の磁 化は減少するため、次の TR に反映する T2\*の影 響が低下する. そのため FISP で T1を強調するに は、ある程度の長いTRが必要と考えられた。

今回は対象として肝腫瘍の中でも転移性肝腫瘍 を選択したが、その理由は転移性肝腫瘍は一般に T1強調画像にて低信号,T2強調画像にて高信号を呈するため,T1強調,T2強調のバランスを視覚的に把握しやすかったからである。しかし決定した GE 法のパラメータは肝細胞癌や血管腫などの他の肝腫瘍にも応用することは可能で,GE 法で得られた組織コントラストから SE 法におけるコントラストの推測が可能である.

GE 法による腫瘍の検出率に関しては、今回は検討を加えていない。SE 法でも小さな腫瘍では部分容積現象やスライス間隔のために描出されない可能性がある。その場合、SE 法を用いた再検査は難しいが、GE 法なら撮像を繰り返すことも容易である。また SE 法にて疑わしい所見が得られた際には、他の方向から撮像して病変の存在を確認するということも GE 法では十分に可能である。

GE 法の欠点として局所磁場の不均一性の影響を受けやすいということがある $^9$ . そのため腸管ガスの周辺には磁化率の違いによるアーチファクトによって画像の劣化が見られ、病変が近い症例では診断の妨げとなることがある。また大動脈や下大静脈内の血流から独特のアーチファクトも見られるため、撮像の際には裁断面の選択やphase encode 方向の変更、presaturation technique の応用といった工夫も必要である $^{14}$ ~ $^{17}$ . それらによって今回の報告のように呼吸停止下で肝腫瘍のT1強調画像と  $^{2*}$ 強調画像が撮像可能である.

## 結 語

- 1) 転移性肝腫瘍15例を FLASH と FISP にて 撮像し、FA、TR、TE の変化が組織コントラスト に及ぼす影響について検討した。
- 2)SE 法の組織コントラストに最も近いバラメータは FLASH の T1強調画像では FA=40°, TR=22msec, TE=10msec が, T2\*強調画像は FA=10°, TR=100msec, TE=30msec が最も適していた。FISP の T1強調画像は FA=70°, TR=100msec, TE=10msec で, T2\*強調画像は FA=10°, TR=100msec, TE=30msec が最も適していた。
- 3) GE 法は上記の設定条件で撮像すると,呼吸によるアーチファクトがなく, SE 法のコントラ

ストに近い画像が短時間で得られ, 臨床的に有用 と考えられた.

尚,本論文の要旨は第17回断層映像研究会,第48回日本 医学放射線学会総会にて発表した。

#### 文 献

- Ehman RL, McNamara MT, Pallack M, et al: Magnetic resonance imaging with respiratory gating: Techniques and advantages. AJR 143: 1175—1182, 1984
- Lewis CE, Prato FS, Drost DJ, et al: Comparision of respiratory triggering and gating techniques for the removal of respiratory artifacts in MR imaging. Radiology 160: 803—810, 1986
- Pattany PM, Phillips JJ, Chiu LC, et al: Motion artifact suppression technique (MAST) for MR imaging. J Comput Assist Tomogr 11: 369-377, 1987
- 4) Edelman RR, Atkinson DJ, Silver MS, et al: FRODO pulse sequences: A new means of eliminating motion, flow, and wraparound artifacts. Radiology 166: 231—236, 1988
- 5) Edelman RR, Hahn PF, Buxton R, et al: Rapid MR imaging with suspended respiration: Clinical application in the liver. Radiology 161: 125 —131, 1986
- Haase A, Frahm J, Matthaei D, et al: FLASH imaging. Rapid NMR imaging nsing low flipangle pulses. J Magn Reson 67: 258—266, 1986
- Mills TC, Ortendahl DA, Hylton NM, et al: Partial flip angle MR imaging. Radiology 162: 531—539, 1987
- Winkler ML, Ortendahl DA, Mills TC, et al: Characteristics of partial flip angle and gradient reversal MR imaging. Radiology 166: 17

  –26, 1988
- Haacke EM, Tkach JA, Parrish TB: Reduction of T2\* dephasing in gradient field-echo imaging. Radiology 170: 457-462, 1989
- 10) Frahm J, Haase A, Matthaei D: Rapid NMR imaging of dynamic processes using FLASH technique. Magn Reson Med 3: 321—327, 1986
- 11) Oppelt A, Graumann R, Barfuß H, et al: FISP A new fast MRI sequence. Electromedica 54: 15—18, 1986
- 12) Buxton RB, Edelman RR, Rosen BR, et al: Contrast in rapid MR imaging: T1- and T2weighted imaging. J Comput Assist Tomogr 11: 7-16, 1987
- 13) Bydder GM, Payne JA, Collins AG, et al: Clinical use of rapid T2 weighted partial saturation sequences in MR imaging. J Comput

- Assist Tomogr 11: 17-23, 1987
- 14) Unger EC, Cohen MS, Gatenby RA, et al: Single breath-holding scans of the abdomen using FISP and FLASH at 1.5T. J Comput Assist Tomogr 12: 575—583, 1988
- 15) Felmlee JP, Ehman RL: Spatial presaturation: A method for suppressing flow artifacts and improving depiction of vascular anatomy in MR imaging. Radiology 164: 559—564, 1987
- 16) Otake S, Michimasa M, Yasumasa K: Distinction of hepatic vein from portal vein by MR imaging. J Comput Assist Tomogr 14: 201 —204, 1990
- 17) Winkler ML, Thoeni RF, Luh N, Kaufman L, Margulis AR: Hepatic neoplasia: Breathhold MR imaging. Radiology 170: 801—806, 1989